

## بررسی بیش بیانی ژن *pmt* بر خصوصیات مورفولوژیکی، بیوشیمیایی و تولید تروپان آلالکالوئیدها در ریشه‌های موئین بذرالبنج مشبك تحت تأثیر غلظت بهینه عصاره مخمر

شهلا شامه<sup>۱</sup>، بهمن حسینی<sup>۱\*</sup> و خاویر پالازون<sup>۲</sup>



<sup>۱</sup>. ایران، ارومیه، دانشگاه ارومیه، دانشکده کشاورزی، گروه علوم باگبانی

<sup>۲</sup>. اسپانیا، دانشگاه بارسلونا، دانشکده داروسازی، گروه فیزیولوژی گیاهی

تاریخ دریافت: ۱۴۰۰/۰۷/۰۶ تاریخ پذیرش: ۱۴۰۰/۰۱/۲۴

### چکیده

مهندسی ژنتیک و محرك‌ها از راهکارهای مفید جهت بهینه سازی تولید متابولیت‌های ثانویه در سطح انبوه هستند. در این مطالعه، ریشه‌های موئین از تلقیح ریزنمونه‌های کوتیلدون گیاه بذرالبنج مشبك (*Hyoscyamus reticulatus*) با سویه‌های A4 از *Agrobacterium tumefaciens* (pRiA4-pBMI) C58C1 و *Agrobacterium rhizogenes* تأثیر ترکیب بیش بیانی ژن *pmt* و غلظت بهینه عصاره مخمر (۲۵۰ میلی‌گرم بر لیتر بعد از ۴۸ ساعت) بر خصوصیات مورفولوژیکی، بیوشیمیایی و تولید تروپان آلالکالوئیدها در ریشه‌های موئین حاصل از دو سویه مورد ارزیابی قرار گرفتند. نتایج بررسی تأثیر سویه‌های مختلف آگروباکتریوم بهمراه غلظت بهینه عصاره مخمر نشان داد که در ریشه‌های موئین حاصل از سویه C58C1، وزن تر ۲/۸۵ (برابر) و خشک ۲/۲۷ (برابر)، فنول ۱/۷۴ (برابر)، فلاونوئید ۱/۷۶ (برابر) و آلالکالوئید کل ۱/۷۷ (برابر) بیشتر از ریشه‌های موئین حاصل از سویه A4 شد. بیشترین ظرفیت آنتی‌اکسیدانی به دو روش IC<sub>50</sub> (۱/۶۲ میکروگرم بر میلی‌لیتر) و FRAP (۱۴/۷۷ میلی‌مول آهن II بر گرم وزن تر) در ریشه‌های موئین حاصل از سویه C58C1 مشاهده شد. میزان فعالیت آنزیم‌های آنتی‌اکسیدانی شامل سوپراکسید دیسموتاز، کاتالاز، آسکوربیات پراکسیداز و گایاکول پراکسیداز در ریشه‌های موئین حاصل از سویه C58C1 به ترتیب ۲/۴۵، ۱/۳۰، ۱/۸۲ و ۲/۱۸ (برابر) بیشتر از ریشه‌های موئین حاصل از سویه A4 به دست آمد. همچنین بیشترین میزان تولید هیوسیامین (۱/۳۷ برابر) و اسکوپولامین (۱/۳۴ برابر) در ریشه‌های موئین حاصل از سویه C58C1 حاصل شد. نتایج مشخص کرد که ترکیب بیش بیانی ژن *pmt* و غلظت بهینه عصاره مخمر می‌تواند به عنوان یک راهکار مناسب جهت افزایش تولید ترکیبات فیتوشیمیایی، ظرفیت آنتی‌اکسیدانی، فعالیت آنزیم‌های آنتی‌اکسیدانی و تروپان آلالکالوئیدها در ریشه‌های موئین بذرالبنج مشبك استفاده شود.

واژه‌های کلیدی: آلالکالوئیدکل، بیش بیانی، تروپان آلالکالوئیدها، عصاره مخمر، مهندسی ژنتیک

\* نویسنده مسئول، تلفن: ۰۴۴۳۲۷۷۹۵۵۸، پست الکترونیکی: pbhosseini@yahoo.com

### مقدمه

بادمجانیان (Solanaceae) است که بومی مناطق خشک و نیمه خشک مصر، جنوب غرب آسیا، ایران و ترکیه است (۱۲). تمام پیکر گیاه، حاوی آلالکالوئید است که مهمترین آن‌ها را هیوسیامین، اسکوپولامین و آتروپین تشکیل می‌دهند (۱). از کاربردهای تروپان آلالکالوئیدها در پزشکی رویکرد روز افزون مصرف داروهایی با منشأ گیاهی توسط مردم جهان، سبب افزایش تقاضا در زمینه مواد مؤثره گیاهان دارویی به عنوان تولیدات قابل مصرف در صنایع آرایشی-بهداشتی و دارویی شده است (۵۲). بذرالبنج مشبك (*Hyoscyamus reticulatus*) یکی از گیاهان تیره

گیاهی است که توسط باکتری آگروباکتریوم رایزوژنر ایجاد می‌گردد (۳۸). کشت ریشه مؤین به علت رشد سریع، زمان دو برابر شدن کوتاه، سهولت نگهداری و توانایی سنتز گسترهای از ترکیبات شیمیابی، مزیت‌های بیشتری را به عنوان یک منع پیوسته برای تولید متابولیت‌های ثانویه ارزشمند ایجاد می‌نماید (۱۹ و ۱۳). اگرچه روش‌های مختلف برای انتقال ژن وجود دارد اما استفاده از *A. tumefaciens* به دلایل متعدد از جمله: بازدهی بیشتر با هزینه‌ی کمتر، امکان انتقال قطعات بزرگ DNA و انتقال تعداد کمی DNA کم نسبت به سایر روش‌ها ارجحیت دارد (۵۱ و ۵۲) (۵۱).

اخیراً، رویکردهای متعددی مثل استفاده از محرك‌های زیستی و غیر زیستی و تحریک مسیر بیوستزی برای افزایش تولید متابولیت‌ها در کشت ریشه‌های مؤین به کار گرفته شده است (۴۱). محرك‌ها با القاء سیستم دفاعی گیاه منجر به افزایش بیوستز و انباست متابولیت‌های ثانویه می‌شوند (۶۴). عصاره مخمر (به عنوان محرك زیستی)، ترکیبی از آمینو اسیدها، ویتامین‌ها، مواد معدنی مختلف و سایر ترکیب‌های تحریک کننده رشد و تولید متابولیت‌های ثانویه می‌باشد (۵۰). تاکنون مطالعات زیادی مبنی بر بیان ژن‌های کلیدی در مسیر بیوستزی مختلف و استفاده از محرك‌ها به عنوان راهکاری مهم به منظور بهبود تولید متابولیت‌های ثانویه در کشت ریشه‌های مؤین ارائه شده است. *pmt* به عنوان ژن بالادرست در مسیر بیوستز تروپان آلکالوئید‌ها نقش دارد که افزایش تعداد رونوشت‌های مربوط به آن می‌تواند به عنوان یکی از راهکارهای مؤثر در جهت افزایش تولید تروپان آلکالوئیدها باشد (۳۷). در تحقیقی با بررسی بیش بیانی ژن *pmt* به منظور افزایش تولید آلکالوئید‌های ارزشمند هیوسیامین و اسکوپولامین در ریشه‌های مؤین *Hyoscyamus muticus*, محتوى هیوسیامین در ریشه‌های تاریخت شده ۲-۳ برابر ریشه‌های شاهد مشاهده گردید، اما محتوى اسکوپولامین مشابه ریشه‌های شاهد بود (۳۷). در تحقیقی که توسط Kang و همکاران

می‌توان به مواردی مانند آرام نمودن عالیم بیماری پارکینسون، گشادکردن مردمک چشم و افزایش ضربان قلب، خنثی کردن سستی ماهیچه‌های صاف ناشی از ترکیبات فسفره آلی و کاهش ترشح عرق و اسید معده اشاره نمود (۸). ارزش تجاری اسکوپولامین به دلیل عملکرد متفاوت در سیستم عصبی و فعالیت فیزیولوژیکی بالاتر نسبت به هیوسیامین بیشتر می‌باشد (۳۳). در سال‌های اخیر، تولید متابولیت‌های ثانویه از طریق کشت بافت گیاهی بسیار مورد توجه قرار گرفته است، زیرا مواردی وجود دارد که میزان متابولیت‌های موجود در کشت سلول‌های گیاهی خیلی بیشتر از میزان آن در گیاه کامل است و یا حتی سلول‌های کشت شده، متابولیت‌هایی تولید می‌کنند که در گیاه اولیه تولید نمی‌شوند (۵۴). با توجه به اهمیت و نیاز به افزایش تولید ترکیبات با ارزش در گیاهان دارویی به دلایل کاربرد در صنایع دارویی و غذایی، به نظر می‌رسد که روش‌های زیست فناوری مانند کشت سلول و اندام می‌توانند در به ثمر رسیدن این اهداف مفید باشند (۵۷). در حال حاضر استفاده از روش‌های نوین مهندسی ژنتیک، از جمله پرکاربردترین فنونی به شمار می‌روند که در شناسایی مسیرهای بیوشیمیابی و ژن‌های دخیل در این مسیرها، افزایش بیان ژن‌ها، دستورالعمل آنها و انتقال آنها از موجودی به موجود دیگر مورد استفاده قرار می‌گیرند (۲۹). مهندسی متابولیت به عنوان راهکار نهایی برای تغییر در تولید متابولیت‌های ثانویه با استفاده از دو سیستم کلی افزایش و کاهش بیان ژن‌های بیوستز کننده است (۵۹). به طور کلی می‌توان گفت که تغییر بیان ژن‌های کلیدی در گیاهان در تولید یک یا دسته‌ای از متابولیت‌های ثانویه در گیاهان دارویی، از مهمترین راهبردهای مورد استفاده در بالادردن تولید متابولیت‌ها در گیاهان دارویی محسوب می‌شوند (۹). تراریختی به واسطه‌ی آگروباکتریوم این مزیت را داراست که با قرار دادن هر ژن خارجی مورد علاقه در یک ناقل دوگانه (Binary vector)، بتوان آن را به کلون‌های ریشه مؤین تراریخت انتقال داد (۱۹). ریشه مؤین نوعی بیماری

گزارشات بالا نشان می‌دهند که بیش بیانی ژن‌های کلیدی در مسیر بیوستزی و استفاده از محرك‌ها از روش‌های موثر بر ای بهبود تولید متابولیت‌های ثانویه در کشت ریشه‌های موئین است. در این مطالعه برای اولین بار ترکیب بیش بیانی ژن *pmt* و غلظت بهینه عصاره مخمر بر خصوصیات مورفولوژیکی، بیوشیمیابی و تولید تروپان آلکالوئیدها در ریشه‌های موئین بذرالبنج مشبك مورد ارزیابی قرار گرفت.

## مواد و روشها

تهیه سویه‌های باکتری: در این مطالعه از *Agrobacterium rhizogenes* سویه A4 (به عنوان کنترل) و *Agrobacterium tumefaciens* سویه C58C1 (pRiA4-pBMI) حامل ژن *pmt* (جهت تولید ریشه‌های موئین بذرالبنج مشبك) استفاده شد (شکل ۲-الف). این دو سویه به ترتیب از بانک میکروبی مؤسسه ملی مهندسی زنتیک و زیست فناوری تهران و دانشگاه بارسلونا، اسپانیا تهیه شدند (۳۶).

کشت بذر و تهیه ریز نمونه: ابتدا بذرهای گیاه بذرالبنج مشبك (تهیه شده از شرکت پاکان بذر اصفهان) با اسید سولفوریک ۱۰ درصد به مدت ۱۰ دقیقه خراشیده شدند. سپس بذرها با استفاده از اتانول ۷۰ درصد به مدت ۱ دقیقه و محلول هیپوکلریت سدیم ۲/۵ درصد کلر فعال به مدت ۱۰ دقیقه ضد عفونی سطحی شدند. بذر ضد عفونی شده جهت جوانهزنی و تهیه ریز نمونه در محیط کشت MS (۳۹) فقدان تنظیم کننده‌های رشد گیاهی و دارای ۷ گرم بر لیتر آکار کشت گردیدند. بذرها در دمای ۲۴ درجه مانتی گراد و شرایط ۱۶ ساعت روشناختی و ۸ ساعت تاریکی قرار گرفتند.

تلقیح ریز نمونه و ظهور ریشه موئین: پس از کشت شبانه، هر دو نوع سویه باکتری (A4 و C58C1) با غلظت بهینه (OD<sub>600</sub>) بین ۰/۶ تا ۰/۸ جهت تلقیح در محیط کشت مایع Luria-Bertani (LB) حاوی ریفارمیسین (۵۰ میلی گرم بر لیتر، برای هر دو سویه باکتری) و کانامایسین (۵۰ میلی گرم

(۲۶) صورت گرفت، بررسی بیش بیانی ژن *h6h* در کشت ریشه‌های موئین گیاه *Scopolia parviflora* نشان داد که میزان تولید اسکوپولامین ۳ برابر نسبت به ریشه‌های شاهد افزایش یافت. در تحقیق دیگر Yang و همکاران (۶۰)، اثر بیش بیانی ژن *pmt* و *h6h* به منظور افزایش تولید تروپان آلکالوئیدها در ریشه‌های موئین تاریخته شده شایزیک (*Atropa belladonna*) مورد مطالعه قرار دادند، نتایج نشان داد که محتوی هیوسیامین و اسکوپولامین در ریشه‌های تاریخته به ترتیب ۱۱ و ۵ برابر ریشه‌های غیر تاریخت افزایش یافت.

در پژوهشی تیمار ریشه‌های موئین خرفه (Portulaca oleracea) با غلظت ۵۰۰ میلی گرم بر لیتر عصاره مخمر به مدت ۴۸ ساعت، سطح تجمع نورآدنالین را نسبت به ریشه‌های شاهد ۵ برابر افزایش داد (۴۴). در تحقیقی که توسط رحیمی آشتیانی و همکاران (۳) صورت گرفت، بررسی اثر غلظت‌های مختلف عصاره مخمر در زمان‌های مختلف بر کشت سوسپانسیون سلولی گیاه خار مريم (Silybum marianum) نشان داد که بیشترین میزان تولید سیلی مارین در تیمار با ۶ میلی گرم بر ۵۰ میلی لیتر محیط کشت در مدت ۷۲ ساعت حاصل شد که نسبت به شاهد ۵ برابر افزایش نشان داد. تیمار عصاره مخمر در ریشه‌های موئین چریش (Azadirachta indica)، تولید آزادیراکتین را نسبت به شاهد ۱/۶ برابر بهبود بخشید (۴۸). کاربرد عصاره مخمر در ریشه‌های موئین بذرالبنج مشبك (*H. reticulatus*) در غلظت‌های مختلف و زمان‌های مختلف مورد بررسی قرار گرفت، بالاترین میزان تولید هیوسیامین (۲ برابر) و اسکوپولامین (۲/۵ برابر بیشتر از شاهد) در غلظت‌های ۵۰۰ و ۲۵۰ میلی گرم بر لیتر عصاره مخمر در مدت زمان ۴۸ ساعت تحریک زایی به دست آمد (۳۵). Udomusk و همکاران (۵۵) گزارش کردند میزان تولید ایزوفلاؤنوتید کل در ریشه‌های موئین *Pueraria candollei* به وسیله عصاره مخمر در غلظت و زمان‌های مختلف، ۴/۵ برابر بیشتر از ریشه‌های موئین شاهد بود.

TGGATCCCAAATTGCTATTCCACGA-3' و برگشت R: 5'-TTAGGCTTCTTCAGGTTACTGCAGC-3' انجام شد.

تیمار ریشه‌های موئین با غلظت بهینه عصاره مخمر: عصاره مخمر از شرکت لیوفیلکم (Liofilchem) تهیه شد. غلظت بهینه عصاره مخمر (۲۵۰ میلی‌گرم بر لیتر) (۳۵) جهت تیمار ریشه‌های موئین هر دو سویه باکتری در محیط کشت MS مایع تهیه گردید. یک گرم از ریشه‌های موئین هر دو سویه باکتری به داخل ارلن مایرهاي ۲۵۰ میلی‌لیتری حاوی ۱۰ میلی‌لیتر محیط کشت MS مایع در ۳ تکرار، منتقل و داخل شیکر انکوباتور با ۱۲۰ دور در دقیقه، دمای ۲۵ درجه سانتی‌گراد و در تاریکی نگهداری شدند (شکل ۲-ت). پس از ۲۱ روز، محیط کشت MS مایع حاوی غلظت بهینه عصاره مخمر به ارلن‌ها اضافه گردید. پس از گذشت ۴۸ ساعت از زمان تیمار، ریشه‌های موئین به محیط کشت MS مایع فاقد عصاره مخمر انتقال یافتند. پس از گذشت یک هفته، عمل برداشت ریشه‌های موئین صورت گرفت و بعد از شستشو با آب مقطر و حذف رطوبت اضافی ریشه‌ها توسط کاغذ صافی، وزن تر اندازه‌گیری شد. پس از خشک شدن ریشه‌ها توسط فریز درایر (به مدت ۴۸ ساعت) وزن خشک اندازه‌گیری و ثبت شدند.

عصاره گیری جهت اندازه‌گیری صفات فیتوشیمیایی و ظرفیت آتنی اکسیدانی: یک گرم وزن تر از ریشه‌های موئین سویه A4 و C58C1 داخل هاون توسط ازت مایع پودر شدند و سپس به پودرهای ریشه موئین ۲۰ میلی‌لیتر متانول ۸۰ درصد اضافه شد. در نهایت عصاره گیری با استفاده از روش اولتراسونیک در دمای ۳۰ درجه سانتی‌گراد به مدت ۳۰ دقیقه انجام شد (۵۸).

اندازه‌گیری فنول و فلاونوئید کل: اندازه‌گیری فنول کل با استفاده از معرف فولین سیوکالتیو (Folin-Ciocalteu) به روش Slinkard و Singleton (۴۷) اندازه‌گیری شد. ۱۸۰

بر لیتر، برای سویه (C58C1) در شرایط تاریکی بر روی شیکر انکوباتور (۱۲۰ دور در دقیقه در ۲۵ درجه سانتی‌گراد) کشت شدند. پس از جدا کردن ریزنمونه‌های کوتیلدونی (ریزنمونه) توسط اسکالپل، روش اولتراسونیک (Elmasonic Singen) با فرکانس ۱۲۰ هرتز و دمای ۲۵ درجه سانتی‌گراد به مدت ۲۰ ثانیه جهت تلقیح بهتر ریزنمونه‌ها با سویه‌های A4 و C58C1 استفاده گردید (۴۶). پس از ۲ روز، ریزنمونه‌ها به محیط کشت MS جامد حاوی سفووتاکسیم (۲۰۰ میلی‌گرم بر لیتر، برای هر دو سویه) و کانامایسین (۱۰۰ میلی‌گرم بر لیتر، برای سویه C58C1) منتقل شدند. پس از گذشت یک هفته، برای افزایش رشد ریشه‌های موئین در محیط کشت جامد، هر یک از ریزنمونه‌های ریشه‌دار به صورت تکی و لاین-های مجزا به محیط کشت MS جامد عاری از هورمون و حاوی سفووتاکسیم (۱۰۰ میلی‌گرم در لیتر، برای هر دو سویه) و کانامایسین (۱۰۰ میلی‌گرم بر لیتر، برای سویه C58C1) منتقل گردیدند. واکشت ریزنمونه‌ها هر ۲ هفته یکبار انجام شد. از میان ۱۰ و ۵۴ لاین ریشه موئین القاء شده به ترتیب توسط سویه‌های A4 و C58C1، لاین‌های ۶ و ۱۳ بعنوان لاین پر رشد جهت انجام مراحل بعدی آزمایش انتخاب شدند (شکل ۲-پ).

آنالیز مولکولی ریشه‌های موئین از طریق واکنش زنجیره ای پلیمراز (PCR): جهت اثبات حضور ژن *rol B* در ریشه‌های موئین از واکنش زنجیره‌ای پلیمراز با آغازگرهای اختصاصی ژن *rol B* استفاده شد. DNA ژنومی ریشه‌های موئین حاصل از هر دو سویه به روش CTAB با اندکی تغییرات استخراج گردید (۱۶). واکنش در ۹۴ درجه و ۳۵ چرخه (هر چرخه شامل ۱ دقیقه در ۹۴ درجه، ۸۰ ثانیه در ۶۰ درجه و ۹۰ ثانیه در ۷۲ درجه سانتی‌گراد و تکمیل بسط PCR در ۱۰ دقیقه در دمای ۷۲ درجه) انجام شد. محصول PCR روی ژل آکارز ۱ درصد و بوسیله دستگاه ژل داک عکسبرداری شد. تکثیر قطعات ۷۸۰ bp ژن *rol B* با استفاده از آغازگر رفت F: ۵'-

محلول اضافه شد و به شدت تکان داده شد. جذب نمونه‌ها در ۴۷۰ نانومتر با استفاده از دستگاه اسپکتروفوتومتر قرائت گردید. برای رسم منحنی استاندارد از غلظت‌های آکالوئید هیوسیامین (۰/۴، ۰/۶، ۰/۸، ۱ و ۱/۲ میلی‌لیتر) استفاده شد. میزان آکالوئید کل بر اساس میکروگرم بر گرم وزن خشک گزارش شد.

**اندازه‌گیری ظرفیت آنتی‌اکسیدانی به روش مهار رادیکال آزاد DPPH :** برای اندازه‌گیری ظرفیت آنتی‌اکسیدانی به روش DPPH، ۲ میلی‌لیتر از محلول DPPH به غلظت‌های مختلف (۲۰۰، ۴۰۰ و ۶۰۰ پی پی ام) عصاره ریشه‌های موئین اضافه شد. محلول حاصل را تکان داده و در دمای آزمایشگاه به مدت ۳۰ دقیقه نگهداری شدند. جذب نمونه‌ها در ۵۱۷ نانومتر با استفاده از دستگاه اسپکتروفوتومتر قرائت گردید. منحنی استاندارد بر اساس غلظت‌های مختلف اسید آسکوربیک (۱۰، ۲۰، ۳۰، ۴۰ و ۵۰ پی پی ام) رسم شد. با استفاده از فرمول زیر فعالیت آنتی‌اکسیدانی تعیین گردید. جهت تهیه شاهد (Blank) نیز به روش بالا عمل و فقط به جای عصاره گیاهی، ۵۰ میکرولیتر متانول ۸۰ درصد اضافه شد (۲۴).

$$RSA = [(Abs\ control - Abs\ sample)/Abs\ control] \times 100$$

Abs control: میزان جذب بلنک، Abs sample: میزان جذب نمونه

**اندازه‌گیری ظرفیت آنتی‌اکسیدانی از طریق قدرت احیاء‌کنندگی آهن (FRAP):** به منظور سنجش میزان ظرفیت آنتی‌اکسیدانی ریشه‌های موئین به روش FRAP، ۵۰۰ میکرولیتر از عصاره ریشه‌های موئین و ۳ میلی‌لیتر معرف تازه FRAP (بافر استات سدیم ۳۰۰ میلی‌مولار با اسیدیته ۲/۶، فریک-تری پریدیل-اس-تریازین (۲,۴,۶-Tri(2-Pyridyl)-s-Triazine (TPTZ)) و فریک کلرید) با هم مخلوط شدند. مخلوط حاصل به مدت ۳۰ دقیقه در حمام آب گرم (دمای ۳۷ درجه سانتیگراد) قرار گرفت و جذب آن در طول موج ۵۹۳ نانومتر و با استفاده از دستگاه

میکرولیتر از عصاره متانولی (۸۰ درصد) استخراج شده از ریشه‌های موئین با ۱۸۰ میکرولیتر آب مقطر و ۱۲۰۰ میکرولیتر فولین ۱۰ درصد داخل لوله آزمایشی تمیز ریخته و در آخر به آن ۹۶۰ میکرولیتر کربنات سدیم ۷ درصد مقطر اضافه گردید. سپس لوله‌های شیشه‌ای به مدت ۳۰ دقیقه در تاریکی و در دمای اتاق نگهداری شد. میزان جذب در طول موج ۷۶۰ نانومتر با دستگاه اسپکتروفوتومتر (HALODB-20) Dynamica قرائت شد. منحنی استاندارد بر اساس اسید گالیک، ترسیم و نتایج به بر حسب میلی‌گرم گالیک اسید بر گرم وزن تر گزارش شد. در مورد فلاونوئید کل، ۱۵۰ میکرولیتر از عصاره متانولی (۸۰ درصد) استخراج شده از ریشه‌های موئین با ۱۵۰ میکرولیتر نیتریت سدیم ۵ درصد به مدت ۵ الی ۱۵ دقیقه در شرایط تاریکی قرار داده شد. سپس ۳۰۰ میکرولیتر محلول کلرید آلومینیوم ۱۰ درصد و ۱۰۰۰ میکرولیتر استات پتابسیم ۱ مولار اضافه نموده و جذب مخلوط در طول موج ۳۸۰ نانومتر قرائت گردید. برای رسم منحنی استاندارد از کوئرستین استفاده شد. میزان فلاونوئید کل عصاره‌ها بر اساس میلی‌گرم کوئرستین بر گرم وزن تر گزارش شد (۱۵).

**اندازه‌گیری آکالوئید کل:** سنجش آکالوئید کل با استفاده از روش Ajanal و همکاران (۶) با تغییرات جزئی اندازه‌گیری شد. ۱ گرم از ریشه‌های موئین خشک شده پودر شدند و با ۲۰ میلی‌لیتر متانول (۸۰ درصد) به مدت ۲۴ ساعت عصاره گیری شد. عصاره به دست آمده توسط کاغذ صافی فیلتر شد و جهت تبخیر متانول و تغليظ عصاره از دستگاه روتاری با دمای ۴۵ درجه سانتیگراد در تاریکی استفاده شد. پس از آن، عصاره غلیظ شده در ۱ میلی‌لیتر اسید کلریدریک (2N) حل و فیلتر شد. ۱ میلی‌لیتر از این عصاره به دکانتور منتقل و با ۱۰ میلی‌لیتر کلروفرم (NaOH=0.1 N) شسته شد. درنهایت ۵ میلی‌لیتر معرف سبز برومکروزول (Bromocresol green)، ۵ میلی‌لیتر بافر فسفات (pH=4.7) و ۴ میلی‌لیتر کلروفرم به

کاتالاز، مقدار آنزیمی است که ۱ میلی-مولار H<sub>2</sub>O<sub>2</sub> را در یک دقیقه تجزیه می‌کند.

**فعالیت آنزیم آسکوربات پراکسیداز (APX):** فعالیت آنزیم آسکوربات پراکسیداز با روش Nakano و Asada (۴۰) در ۲۹۰ نانومتر با استفاده از دستگاه اسپکتروفتوometر اندازه‌گیری شد. برای هر نمونه، ۱۰۰ میکرولیتر عصاره به لوله‌های حاوی ۲ میلی‌لیتر بافر فسفات (۵۰ میلی مولار در pH=7) و ۲۰ میکرولیتر پراکسید هیدروژن (۵ درصد) و ۱۰ میکرولیتر اسید اسکوربیک (۵۰ میکرومول) اضافه شد. فعالیت آسکوربات پراکسیداز بر اساس میزان اسید اسکوربیک اکسید شده در دمای ۲۵ درجه سانتیگراد به مدت ۱ دقیقه تعیین شد

**فعالیت آنزیم گایاکول پراکسیداز (GPX):** فعالیت آنزیم گایاکول پراکسیداز با روش Mac-Adam و همکاران (۳۲) در ۴۳۶ نانومتر با استفاده از دستگاه اسپکتروفتوometر اندازه‌گیری شد. ۱۰۰ میکرولیتر عصاره به لوله‌های حاوی ۳ میلی‌لیتر بافر فسفات (۰/۱ مولار در pH=7)، ۵۰ میکرولیتر گایاکول و ۵۰ میکرولیتر پراکسید هیدروژن (۳ درصد) اضافه شد. میزان فعالیت آنزیم بر حسب تغییرات واحد جذب در دقیقه به ازای هر گرم وزن تر محاسبه گردید.

**عصاره گیری آلکالوئیدها:** استخراج تروپان آلکالوئیدهای هیوسیامین و اسکوبولامین موجود در ریشه‌های موئین حاصل از دو سویه باکتری به روش Kamada و همکاران (۲۵) با اندکی تغییر انجام شد. بر اساس این روش، مقدار ۰/۵ گرم از ریشه‌های موئین خشک، پودر و کلروفرم، متابول و آمونیاک ۲۵ درصد، به نسبت‌های ۱۵:۵:۱ به نمونه‌های پودر شده اضافه و به مدت ۱۰ دقیقه با اولتراسونیک عصاره گیری شدند. پس از عبور از صافی و دو مرتبه شستشوی کاغذ صافی با ۱ میلی‌لیتر کلروفرم، برای تبخیر فاز کلروفرمی از دستگاه تبخیر کننده دوار (روتاری اوپراتور) (Rotary evaporator) استفاده گردید. به عصاره‌های باقی مانده و خشک شده، ۵ میلی‌لیتر کلروفرم

اسپکتروفتوometر نسبت به شاهد خوانده شد. از سولفات آهن برای رسم منحنی استاندارد استفاده گردید و نتایج داده‌ها بر اساس میلی‌مول آهن II بر گرم وزن تر بیان شد (۶۵).

**عصاره‌ی گیاهی جهت سنجش فعالیت آنزیم‌ها:** ۰/۵ گرم از هر نمونه تازه (ریشه‌های حاصل از هر دوسویه) در نیتروژن مایع پودر شدند و در ۲ میلی‌لیتر بافر استخراج ۰/۵ درصد تری هیدروکلراید (Tris HCl) و ۰/۰۵ درصد پلی وینیل پیرولیدون (PVP) در pH=۸ حل شد. عصاره حاصل سپس در دمای ۴ درجه سانتیگراد به مدت ۲۰ دقیقه در ۱۳۰۰۰ دور در دقیقه سانتریفیوژ شد. پس از جداسازی، از مایع رویی برای اندازه‌گیری فعالیت آنزیم‌های آنتی‌اکسیدان استفاده شد (۴۹).

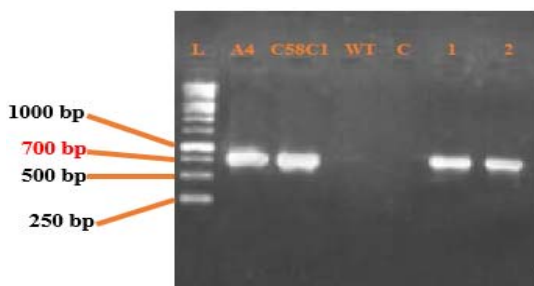
**فعالیت آنزیم سوپراکسید دیسموتاز (SOD):** سنجش فعالیت آنزیم سوپراکسید دیسموتاز با روش Giannopolitis و Ries (۱۸) و به کمک سنجش مهار احیای نوری (Photoreduction) نیتروبیوترازولیوم (NBT) در طول موج ۵۶۰ نانومتر، انجام گرفت. برای هر نمونه، ۵۰ میکرولیتر عصاره به لوله‌های حاوی ۱ میلی‌لیتر بافر واکنش (متشكل از ۵۰ میلی مولار بافر فسفات (pH=۷)، ۱۳ میلی مولار ال-میتوئین، ۱/۰ مولار EDTA، ۷۵ میکرومولار NBT و ۲ میکرومولار ریوفلاوین) اضافه شد. پس از قرار گرفتن لوله‌ها به مدت ۱۵ دقیقه در معرض نور، با استفاده از دستگاه اسپکتروفتوometر جذب نمونه قرائت گردید. یک واحد آنزیمی سوپراکسید دیسموتاز، مقدار آنزیمی است که موجب ۵۰ درصد ممانعت از احیای نوری NBT می‌گردد.

**فعالیت آنزیم کاتالاز (CAT):** فعالیت آنزیم کاتالاز با روش Aebi (۵) در ۲۴۰ نانومتر با استفاده از دستگاه اسپکتروفتوometر اندازه‌گیری شد. برای هر نمونه، ۵ میکرولیتر عصاره (۲۵ برابر رقیق شده) به لوله‌های حاوی ۲/۵ میلی‌لیتر بافر فسفات (۵۰ میلی مولار در pH=۷) و ۲۰ میکرولیتر پراکسید هیدروژن (۳ درصد) اضافه شد. یک واحد آنزیمی

افوار 9.4 و آزمون SAS و آزمون T-test جفت نشده استفاده گردید. نمودارها با استفاده از نرم افزا R رسم شدند.

## نتایج

تأیید حضور ژن *rol B* در ریشه‌های موئین: نتایج آنالیز الکتروفورز ژل آگارز ۱ درصد محصول واکنش زنجیره‌ای پلیمراز برای ریشه‌های موئین تاریخت احتمالی، حضور قطعه با اندازه حدودی ۷۸۰ bp مربوط به ژن *rol B* را در ریشه‌های موئین حاصل از تلقیح ریزنمونه‌های کوتیلدونی C58C1 با سویه A4 از *Agrobacterium rhizogenes* و سویه PCR بدون *Agrobacterium tumefaciens* تأیید نمود که هماندازه قطعه تکثیر شده در نمونه کنترل مثبت (هر دو سویه آگروباکتریوم مورد استفاده در تلقیح) بود. همچنین در حاصل از ریشه‌های طبیعی گیاه بذرالبنج مشبك و محصول واکنش PCR بدون DNA الگو (به عنوان کنترل منفی)، هیچ باند تکثیر مشاهده نگردید. به عبارت دیگر، حضور باند قوی در منطقه ۷۸۰ bp مؤید تکثیر قطعه مورد بررسی و حضور ژن *rol B* در ریشه‌های موئین بود (شکل ۱).



شکل ۱- الکتروفورز ژل آگارز ۱ درصد محصول واکنش زنجیره‌ای پلیمراز جهت تأیید حضور ژن *rol B* در ریشه‌های تاریخت: L: Mارکر DNA (1 kb ladder Fermentas) A4: *Agrobacterium tumefaciens* C58C1: *Agrobacterium rhizogenes* به عنوان کنترل مثبت، WT: ریشه‌های طبیعی بذرالبنج مشبك به عنوان کنترل منفی، C: محصول واکنش PCR بدون DNA الگو، ۱: ریشه‌های موئین القا شده با سویه A4، ۲: ریشه‌های موئین القا شده با سویه C58C1

و ۲ میلی‌لیتر اسید سولفوریک ۱ نرمال اضافه و کاملاً هم زده شدند. در مرحله بعد مخلوط به دست آمده داخل دکانتور ریخته شد که باعث تشکیل دو فاز شد. فاز کلروفرمی (فاز پایینی) جدا و دور ریخته شد و فاز آبی حاوی آکالوئیدها به یک بشر منتقل شد و pH آن روی بخ و به وسیلهٔ آمونیاک ۲۸ درصد تا ۱۰ تنظیم گردید محلول قلیایی داخل دکانتور اضافه شد و آکالوئیدها یک مرتبه توسط ۲ میلی‌لیتر و دو مرتبه توسط ۱ میلی‌لیتر کلروفرم استخراج شدند. فاز کلروفرمی به دست آمده پس از افرودن سولفات سدیم خشک به منظور حذف آب اضافی موجود، از صافی عبور داده شده و کاغذ صافی توسط ۱ تا ۲ میلی‌لیتر کلروفرم شستشو داده شدند. در نهایت محلول صاف شده به وسیلهٔ روتاری اوپرатор در دمای ۴۰ درجه سانتی‌گراد تبخیر و ماده جامد به دست آمده که آکالوئید کل نامیده می‌شود در ۱ میلی‌لیتر متانول خالص حل شد.

آنالیز تروپان آکالوئیدها به روش کروماتوگرافی مایع با کارایی بالا (HPLC): به منظور سنجش میزان تروپان آکالوئیدها (هیوسیامین و اسکوپولامین) در عصاره‌های استخراجی از ریشه‌های موئین دو سویه باکتری، از دستگاه کروماتوگرافی مایع با کارایی بالا، مدل Smartline ۲۱۵ آلمان) با آشکارساز PDA مدل K-2800 با طول موج C-18 (5 μm, 4.6 × 250 mm) بود. سرعت جریان حلال ۱/۴ میلی‌لیتر بر دقیقه بود و فاز متحرک شامل استونیتریل و بافر استات به نسبت‌های ۲۰:۸۰ بود. مقدار عصاره استفاده شده برای هر تزریق ۲۰ میکرولیتر و جمع آوری و پردازش داده‌ها توسط نرم افزار EZChrom Elite انجام شد. میزان دو آکالوئید هیوسیامین و اسکوپولامین بر اساس سطح زیر منحنی به دست آمده با استفاده از منحنی استاندارد محاسبه شد.

آنالیز آماری داده‌ها: برای مقایسه و تحلیل داده‌ها از نرم

تر ( $20.2 \pm 0.9$  گرم) و خشک ( $18 \pm 0.1$  گرم) ریشه‌های موئین حاصل از سویه A4 در مقایسه با ریشه‌های موئین حاصل از سویه C58C1 (وزن تر =  $5.76 \pm 0.03$  گرم، وزن خشک =  $4.1 \pm 0.00$  گرم) از لحاظ آماری به طور معنی‌داری در سطح احتمال یک درصد کمتر است (جدول ۱).

تأثیر سویه‌های مختلف آگروباکتریوم و غلظت بهینه عصاره مخمر بر رشد ریشه‌های موئین: در ریزنمونه‌های کوتیلدونی تلقیح شده با سویه A4 و C58C1 به ترتیب بعداز ۴ و ۲ هفته ریشه‌های موئین از محل زخم ظاهر شدند (شکل ۲-ب). نتایج مقایسه میانگین تأثیر سویه‌های مختلف آگروباکتریوم بهمراه غلظت بهینه عصاره مخمر بر میزان وزن تر و خشک ریشه‌های موئین نشان داد که وزن



شکل ۲-الف- واکشت *Agrobacterium tumefaciens* سویه A4 (۱) و *Agrobacterium rhizogenes* سویه C58C1 (۲)، ب: ظهور ریشه‌های موئین از ریز نمونه‌های تلقیح یافته با آگروباکتریوم، پ: رشد ریشه‌های موئین در محیط کشت جامد و ت: کشت ریشه‌های موئین در محیط کشت مایع.

جدول ۱- تأثیر سویه‌های مختلف آگروباکتریوم بهمراه غلظت بهینه عصاره مخمر بر صفات رشدی و فیتوشیمیایی ریشه‌های موئین بذرالبنج مشبك و آزمون T-test جفت نشده

(انحراف میانگین نمونه) $\pm$ میانگین					
نوع سویه	وزن تر (گرم)	وزن خشک (گرم)	فنول کل (میلی گرم گالیک اسید بر گرم وزن تر)	فلاؤنونئید کل (میلی گرم کوئرستین بر گرم وزن تر)	آلkaloid کل (میکرو گرم بر گرم وزن خشک)
A4 سویه	$2.02 \pm 0.09$	$0.18 \pm 0.01$	$4.20 \pm 0.05$	$1.04 \pm 0.02$	$46.81 \pm 0.26$
C58C1 سویه	$5.76 \pm 0.03$	$0.41 \pm 0.00$	$7.32 \pm 0.05$	$1.84 \pm 0.05$	$82.87 \pm 0.40$
t مقدار آماره	-36.23**	-13.04**	-42.05**	-14.56**	-75.26**

بهینه عصاره مخمر بر میزان فنول و فلاونونئید کل ریشه‌های موئین نشان داد که میانگین فنول  $7.32 \pm 0.05$  میلی گرم اسید گالیک بر گرم وزن تر) و فلاونونئید کل

تأثیر سویه‌های مختلف آگروباکتریوم بهمراه غلظت بهینه عصاره مخمر بر میزان فنول و فلاونونئید: نتایج مقایسه میانگین تأثیر سویه‌های مختلف آگروباکتریوم بهمراه غلظت

بهمراه غلظت بهینه عصاره مخمر بر میزان  $IC_{50}$  ریشه‌های موئین نشان داد که میانگین  $IC_{50}$  ( $10 \pm 6.2 / 0.2$ ) میکروگرم بر میلی‌لیتر در ریشه‌های حاصل از سویه C58C1 کمتر از میانگین  $IC_{50}$  ( $20 \pm 12 / 0.3$ ) میکروگرم بر میلی‌لیتر) ریشه‌های موئین حاصل از سویه A4 بود که این تفاوت از لحظه آماری در سطح یک درصد معنی‌دار بود (جدول ۲). این موضوع نشان می‌دهد که ریشه‌های موئین حاصل از سویه C58C1 در مقایسه با ریشه‌های حاصل از A4 فعالیت آنتی-اکسیدانی بیشتری از خود نشان می‌دهد (جدول ۲).

**تأثیر سویه‌های مختلف آگروباکتریوم بهمراه غلظت بهینه عصاره مخمر بر ظرفیت آنتی‌اکسیدانی به روش FRAP:** نتایج مقایسه میانگین تأثیر سویه‌های مختلف آگروباکتریوم بهمراه غلظت بهینه عصاره مخمر بر میزان آلکالوئید کل: نتایج مقایسه میانگین تأثیر سویه‌های مختلف آگروباکتریوم بهمراه غلظت بهینه عصاره مخمر بر میزان آلکالوئید کل ریشه‌های موئین نشان داد که میانگین آلکالوئید کل ( $82 / 87 \pm 0 / 40$ ) میکروگرم بر گرم وزن خشک: در ریشه‌های موئین حاصل از سویه II (۱۴ / ۷۷ / ۱۶) میلی‌مول آهن II بر گرم وزن تر) در ریشه‌های موئین حاصل از سویه C58C1 بیشتر از میانگین ظرفیت آنتی‌اکسیدانی به روش FRAP ( $11 / 71 / 11$ ) میلی‌مول آهن II بر گرم وزن تر) ریشه‌های موئین حاصل از سویه A4 بود که این تفاوت از لحظه آماری در سطح یک درصد معنی‌دار بود (جدول ۲).

( $1 / 84 \pm 0 / 05$ ) میلی‌گرم کوئرستین بر گرم وزن تر) در ریشه‌های موئین حاصل از سویه C58C1 بیشتر از میانگین فنول ( $4 / 20 \pm 0 / 05$ ) میلی‌گرم اسید گالیک بر گرم وزن تر) و فلاونوئید کل ( $1 / 04 \pm 0 / 02$ ) میلی‌گرم کوئرستین بر گرم وزن تر) ریشه‌های موئین حاصل از سویه A4 بود که این تفاوت از لحظه آماری در سطح یک درصد معنی‌دار بود. (جدول ۱). طبق نتایج به دست آمده، میزان افزایش فنول و فلاونوئید کل در ریشه‌های موئین حاصل از سویه C58C1 به ترتیب  $1 / 74$  و  $1 / 76$  برابر نسبت به ریشه‌های موئین کترل افزایش یافت.

**تأثیر سویه‌های مختلف آگروباکتریوم بهمراه غلظت بهینه عصاره مخمر بر میزان آلکالوئید کل:** نتایج مقایسه میانگین تأثیر سویه‌های مختلف آگروباکتریوم بهمراه غلظت بهینه نشان داد که میانگین آلکالوئید کل ریشه‌های موئین نشان داد که میانگین آلکالوئید کل ( $46 / 81 \pm 0 / 26$ ) میکروگرم بر گرم وزن خشک) ریشه‌های موئین حاصل از سویه A4 بود که این تفاوت از لحظه آماری در سطح یک درصد معنی‌دار بود. (جدول ۱).

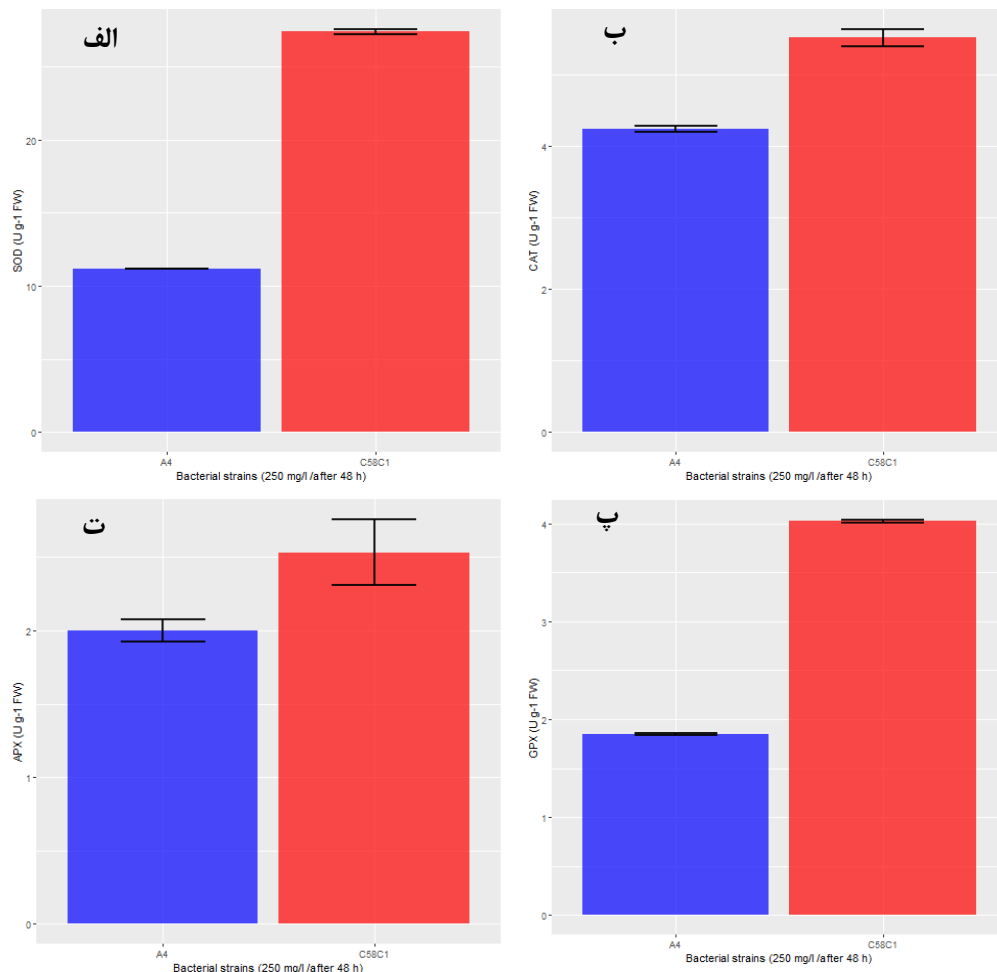
**تأثیر سویه‌های مختلف آگروباکتریوم بهمراه غلظت بهینه عصاره مخمر بر ظرفیت آنتی‌اکسیدانی به روش DPPH:** نتایج مقایسه میانگین تأثیر سویه‌های مختلف آگروباکتریوم

جدول ۲- تأثیر سویه‌های مختلف آگروباکتریوم بهمراه غلظت بهینه عصاره مخمر بر ظرفیت آنتی‌اکسیدانی به روش DPPH و FRAP ریشه‌های موئین بذرالبنج مشبک و آزمون T-test جفت نشده

(انحراف معیار میانگین نمونه) $\pm$ میانگین		
ظرفیت آنتی‌اکسیدانی به روش FRAP	ظرفیت آنتی‌اکسیدانی به روش DPPH	نوع سویه
(میلی مول آهن II بر گرم وزن تر)	(میکروگرم بر میلی‌لیتر)	
11.71 $\pm$ 0.11	2.12 $\pm$ 0.03	A4
14.77 $\pm$ 0.16	1.62 $\pm$ 0.02	C58C1
-15.50**	11.97**	مقدار آماره t

که میانگین فعالیت آنزیم‌های اکسیدانی (APX, CAT, SOD) در ریشه‌های موئین حاصل از سویه C58C1 به ترتیب  $2/45$ ,  $1/30$ ,  $1/82$  و  $2/18$  برابر بیشتر از میانگین آنزیم‌های آنتی‌اکسیدانی ریشه‌های موئین حاصل از سویه A4 بود که این تفاوت از لحاظ آماری در سطح یک درصد معنی‌دار بود (شکل ۳).

تأثیر سویه‌های مختلف آگروباکتریوم بهمراه غلظت بهینه عصاره مخمر بر فعالیت آنزیم‌های آنتی‌اکسیدانی: نتایج مقایسه میانگین تأثیر سویه‌های مختلف آگروباکتریوم بهمراه غلظت بهینه عصاره مخمر بر فعالیت آنزیم‌های آنتی‌اکسیدانی سوپراکسید دیسموتاز، کاتالاز، آسکوربات پراکسیداز و گایاکول پراکسیداز ریشه‌های موئین نشان داد



شکل ۳- تأثیر سویه‌های مختلف آگروباکتریوم بهمراه غلظت بهینه عصاره مخمر بر فعالیت آنزیم‌های آنتی‌اکسیدانی، الف: سوپراکسید دیسموتاز، ب: کاتالاز، ت: گایاکول پراکسیداز، پ: آسکوربات پراکسیداز

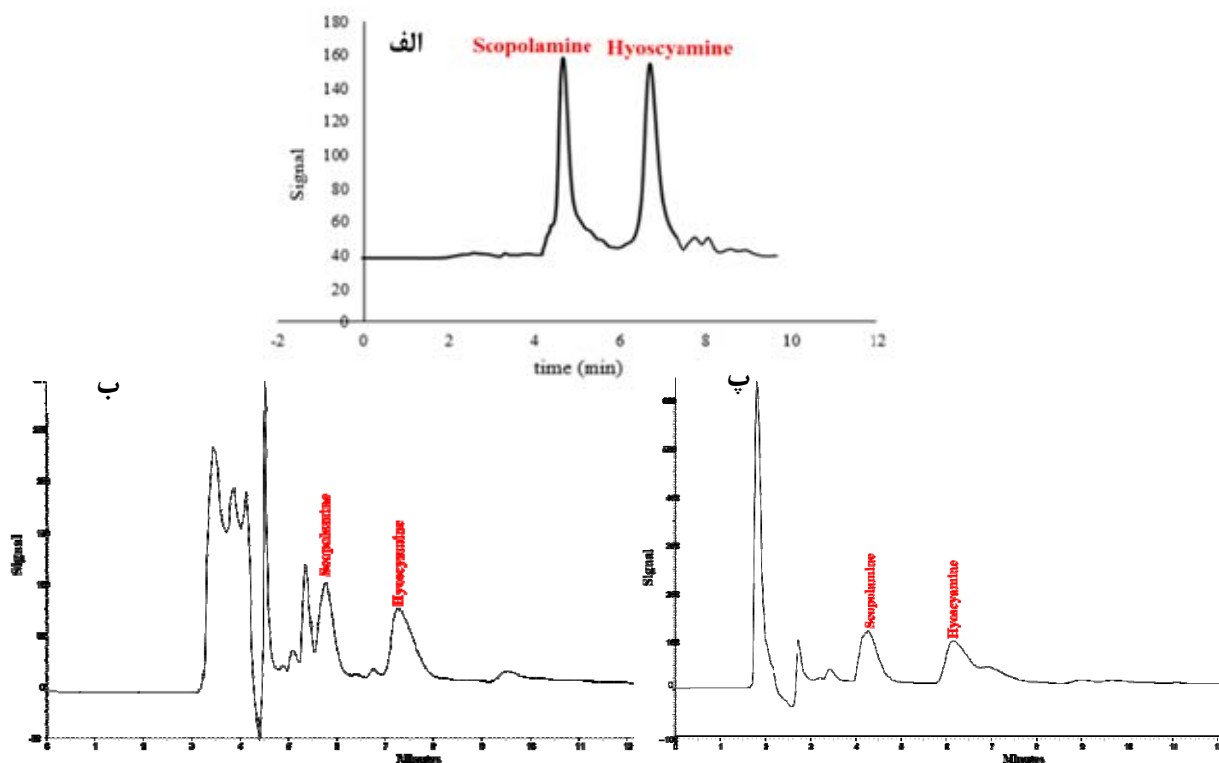
ریشه‌های موئین دو سویه A4 و C58C1 تیمار شده با غلظت بهینه عصاره مخمر در شکل ۴ آورده آمده است. نتایج مقایسه میانگین تأثیر سویه‌های مختلف آگروباکتریوم بهمراه غلظت بهینه عصاره مخمر بر میزان تولید آلkalوئیدها: کروماتوگرام مربوط به استاندارد ترکیبات هیوسیامین و اسکوپولامین و همچنین کروماتوگرام‌های مربوط به عصاره

تأثیر سویه‌های مختلف آگروباکتریوم بهمراه غلظت بهینه عصاره مخمر بر میزان تولید تروپان آلkalوئیدها: کروماتوگرام مربوط به استاندارد ترکیبات هیوسیامین و اسکوپولامین و همچنین کروماتوگرام‌های مربوط به عصاره

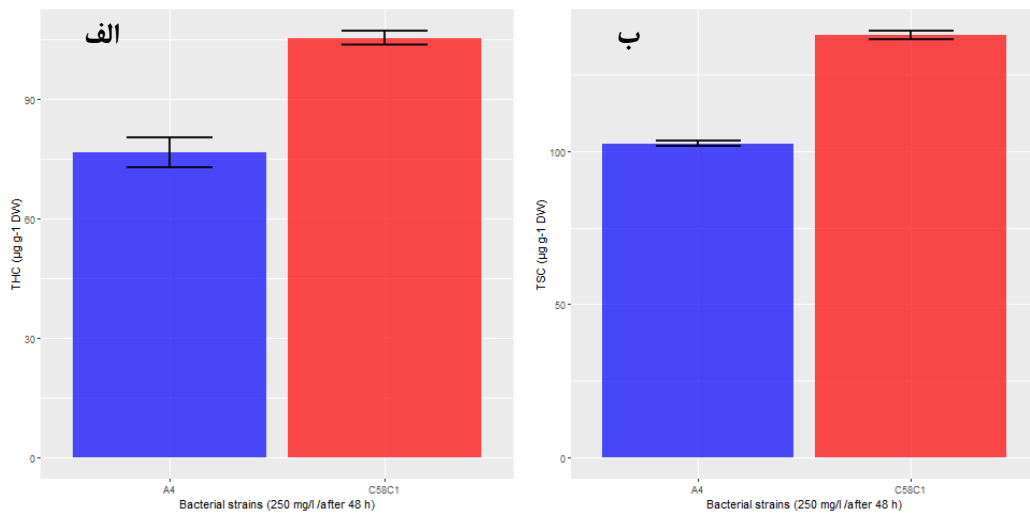
## بحث و نتیجه گیری

در این مطالعه، مقایسه دو سویه مختلف باکتری آگروباکتریوم (سویه A4 از *A. rhizogenes* و سویه C58C1 از *A. tumefaciens*) بهمراه غلظت بهینه عصاره مخمر (۲۵۰ میلی گرم بر لیتر) بعد از ۴۸ ساعت به عنوان محرك زیستی نشان داد که وزن تر و خشک ریشه‌های موئین حاصل از سویه C58C1 نسبت به سویه A4 به طور مؤثری در گیاه بذرالبنج مشبک تحت تأثیر عصاره مخمر قرار گرفت. اختلاف در مورفولوژی و میزان رشد ریشه‌های موئین را می‌توان به تنوع پلاسمیدهای وارد شده توسط سویه‌های مختلف باکتری نسبت داد که به چگونگی تاثیر ژن‌های *rol* مربوط می‌شود. بیان این ژن‌ها، سطح هورمون‌های اکسین و سیتوکینین گیاه میزان و نیز میزان حساسیت سلول‌های گیاهی به سطح هورمون رشد را تغییر می‌دهند (۵۳).

و اسکوپولامین ریشه‌های موئین نشان داد که میانگین تولید هیوسیامین ( $76/66 \pm 3/75$  میکروگرم بر گرم وزن خشک) و اسکوپولامین ( $102/30 \pm 0/88$  میکروگرم بر گرم وزن خشک) در ریشه‌های موئین حاصل از سویه A4 کمتر از میانگین تولید هیوسیامین ( $105/30 \pm 1/76$  میکروگرم بر گرم وزن خشک) و اسکوپولامین ( $137/70 \pm 1/45$  میکروگرم بر گرم وزن خشک) ریشه‌های موئین حاصل از سویه C58C1 بود (شکل ۵) که این تفاوت از لحاظ آماری در سطح یک درصد معنی دار بود (شکل ۵). طبق نتایج به دست آمده، میزان افزایش تولید هیوسیامین و اسکوپولامین در ریشه‌های موئین حاصل از سویه C58C1 به ترتیب  $1/۳۷$  و  $1/۳۴$  برابر نسبت به ریشه‌های موئین کترل افزایش یافت.



شکل ۴-الف- کروماتوگرام پیک‌های استاندارد حاصل از دستگاه HPLC تروپان آکالالوئیدها، ب: کروماتوگرام ریشه‌های موئین القا شده با سویه A4 و پ: کروماتوگرام ریشه‌های موئین القا شده با سویه C58C1



شکل ۵- تأثیر سویه‌های مختلف آگروباکتریوم بهمراه غلظت بهینه عصاره مخمر بر میزان تولید تروپان آلکالوئیدها، الف: هیوسیامین ب: اسکوپولامین

و ارزان برای تولید آسان و انبوه متابولیت‌های ثانویه می‌باشد (۵۹).

سه آنزیم مهم در مسیر بیوستزر تروپان آلکالوئیدها شامل هیوسیامین-۶-بتا هیدروکسیلاز (H6H)، تروپینون ردوتکاز (TR-I) و پوترسین-N-متیل ترانسفراز (PMT) هستند (۴۵). بیوستزر تروپان آلکالوئیدها مانند هیوسیامین و اسکوپولامین با تشکیل یون N-متیل پیرولینیوم از آمینو اسیدهای اورنیتین و آرژنین آغاز می‌شود. پوترسین-N-متیل ترانسفراز (PMT) آنزیم دخیل در برداشت پوترسین از مخزن پلی آمین می‌باشد و N-متیلاسیون دی آمین را به شکل N-متیل پوترسین کاتالیز می‌کند. این مرحله اولین مرحله مشترک در بیوستزر تروپان آلکالوئیدها و نیکوتین می‌باشد و منجر به تولید یک ترکیب حدوداً متوسط دارای بارمثبت (N-متیل پیرولینیوم) می‌گردد. سپس مسیر تروپان آلکالوئیدها از مسیر تولید نیکوتین جدا می‌شود. آخرین مرحله در مسیر بیوستزر تروپان آلکالوئیدها، توسط آنزیم هیوسیامین-۶-بنا هیدروکسیلاز انجام می‌شود. در این مرحله، آنزیم هیوسیامین-۶-بنا هیدروکسیلاز، هیدروکسیلاسیون هیوسیامین را به ۶-بنا هیدروکسی هیوسیامین و نیز

همچنین دلیل دیگر این تفاوت‌ها، بیان متفاوت ژن‌های T-DNA ریشه‌های تراریخته، تعداد کپی‌های متعدد وارد شده و اثرات محل ورود T-DNA به ژنوم گیاه می‌باشد (۷).

در این مطالعه، مقایسه تأثیر سویه‌های مختلف باکتری آگروباکتریوم بهمراه غلظت بهینه عصاره مخمر (۲۵۰ میلی گرم بر لیتر) بعد از ۴۸ ساعت به عنوان محرك زیستی نشان داد که سویه C58C1 در ریشه‌های موئین به طور مؤثری میزان تولید و تجمع ترکیبات فیتوشیمیایی به ویژه فنول و فلاونوئید کل، آلکالوئید کل، هیوسیامین و اسکوپولامین را نسبت به سویه A4 تحت تأثیر قرار داد. از دلایل افزایش تولید متابولیت‌های ثانویه در ریشه‌های موئین ممکن است انتقال T-DNA باکتری آگروباکتریوم و اختلال در مسیر بیوستزر ترکیبات با ارزش باشد (۴). به طور کلی تولید انبوه و سریع متابولیت‌های ثانویه در مقایسه بالا با استفاده از روش‌های شیمیایی مشکل و یا غیرممکن می‌باشد (۴۱). از راهبردهای متعددی برای بهبود تولید متابولیت‌ها می‌توان به کشت بافت گیاهی، استفاده از پیش سازها، کاربرد انواع محرك‌ها و مهندسی ژنتیک اشاره کرد که راه حلی مناسب

های آزاد است (۲۷).  $IC_{50}$  غلظت لازم برای مهار ۵۰ درصد رادیکال‌های آزاد را نشان می‌دهد (۲۴). بین مقدار  $IC_{50}$  و فعالیت آنتی‌اکسیدانی رابطه‌ی معکوسی وجود دارد (۳۰). در روش FRAP ترکیبات آنتی‌اکسیدانی با Ferric tri-pyridyl-triazine complex (Fe (III)-TPTZ) و موجب ایجاد رنگ آبی می‌شوند (۲۰). افزایش فعالیت آنتی‌اکسیدانی بالا در ریشه‌های موئین حاصل از سویه آنتی‌اکسیدانی C58C1 با هر دو روش DPPH و FRAP را می‌توان با افزایش تجمع متابولیت‌های ثانویه از جمله فنول، فلاونوئید و آلالوئید کل توضیح داد (۲۳). جامی و همکاران (۲) گزارش کردند با افزایش تولید ترکیبات فنولی و فلاونوئیدی در گیاه نوروزک (*Salvia leyiifolia* Benth.) فعالیت آنتی‌اکسیدانی نیز با هر دو روش FRAP و DPPH افزایش یافت.

نتایج آنالیز داده‌ها نشان داد که تیمار با غلظت بهینه عصاره مخمر منجر به افزایش فعالیت آنزیم‌های آنتی‌اکسیدانی در ریشه‌های موئین حاصل از سویه C58C1 در مقایسه با سویه A4 شد. در روابط گیاه-میکروب، دو سیستم دفاع آنتی-اکسیدانی آنزیمی و غیر آنزیمی وجود دارد (۱۷). آنزیم‌های سوپراکسید دیسموتاز، کاتالاز و پراکسیداز از جمله مهم ترین آنزیم‌های آنتی‌اکسیدانی هستند که مستقیماً با رادیکال های اکساینده واکنش نموده و آن‌ها را به فرآورده‌های غیر رادیکالی تبدیل می‌نمایند (۶۱). سوپراکسید دیسموتاز یکی از مهم ترین آنزیم‌های آنتی‌اکسیدانی است که از اکسیده شدن غشای لیپیدها جلوگیری می‌کند و در تبدیل سوپراکسید ( $O_2^-$ ) به پراکسید هیدروژن ( $H_2O_2$ ) نقش دارد (۲۲). آنزیم کاتالاز در پراکسی‌زومهای و گلی-اکسی‌زومهای گیاهی حضور دارد و نقش تجزیه کننده  $H_2O_2$  تولید شده طی تنفس نوری در پراکسی‌زومهای  $H_2O_2$  تولید شده طی تنفس نوری در پراکسی‌زومهای  $H_2O_2$  در گلی‌اکسی-زومهای را بر عهده دارد. این آنزیم برای انجام فعالیت خود به نیروی احیایی نیاز ندارد. افزایش فعالیت آنزیم کاتالاز یک پاسخ سازشی برای غلبه بر آسیب‌های ناشی از سطوح بالا،

اپوکسیداسیون ۶- بتا هیدروکسی هیوسیامین را به اسکوپولامین (هیوسین)، کاتالیز می‌کند (۶۳). Johannsen و Kayser (۲۸) نشان دادند که بیش بیانی ژن-های درگیر در فعال‌سازی آنزیم‌های کلیدی در مسیر بیوسنتر تروپان آلالوئیدها منجر به تجمع تولید این ترکیبات می‌شوند. علاوه بر این، استفاده از عصاره مخمر بعنوان محرك می‌تواند فعالیت آنزیم پوترسین متیل ترانسفراز (PMT) و به دنبال آن ظرفیت سنتز تروپان آلالوئیدها رو به دلیل محتوی یون کلسیم (Ca) تنظیم می‌کند (۴۳). در این مطالعه از یک طرف، کاربرد گزارشات مختلف نشان می‌دهد میزان تجمع تروپان آلالوئیدها با بیش بیانی ژن‌های pmt و  $h6h$  در کشت ریشه‌های موئین شایزیک (*Atropa belladonna*) بهبود یافت (۶۰ و ۳۱). همچنین مطالعات مختلف نشان می‌دهند که عصاره مخمر نقش مؤثری در افزایش تولید هیوسیامین و اسکوپولامین در کشت ریشه موئین بذرالبنج مشبک (*H. reticulatus* L.) (۳۵)، اسکوپولامین در کشت ریشه موئین بنگ دانه (*H. niger* L.) (۲۱)، سیلی مارین در کشت سوسپانسیون سلولی خار مریم (*S. marianum*) (۳)، ایزو فلاونوئید کل در ریشه‌های موئین (*P. candollei*) (۵۵) داشته است.

نتایج مطالعه حاضر نشان داد که تیمار با غلظت بهینه عصاره مخمر منجر به افزایش ظرفیت آنتی‌اکسیدانی به دو روش DPPH و FRAP در ریشه‌های موئین حاصل از سویه C58C1 در مقایسه با سویه A4 شد. ظرفیت آنتی‌اکسیدانی با استفاده از روش DPPH یک روش ساده، سریع و حساس برای ارزیابی فعالیت آنتی‌اکسیدان‌ها جهت مهار رادیکال-

درصد) به مدت ۸ ساعت میزان فعالیت آنزیم‌های آنتی-اکسیدانی سوپراکسید دیسموتاز، کاتالاز و پراکسیداز افزایش یافته است (۱۱).

در کل با توجه به نتایج مطالعه حاضر می‌توان گفت که ترکیب بیش بیانی ژن *pmt* و استفاده از غلظت بهینه عصاره مخمر در مدت زمان تیمار ۴۸ ساعت باعث افزایش رشد ریشه‌های مؤین حاصل از سویه *C58C1* نسبت به سویه *A4* گردید. میزان تولید و تجمع ترکیبات فیتوشیمیایی از جمله فنول، فلاونوئید و آلکالوئید کل و به دنبال آن ظرفیت آنتیاکسیدانی در ریشه‌های مؤین حاصل از سویه *C58C1* را بیشتر از ریشه‌های مؤین سویه *A4* افزایش داد. همچنین، فعالیت آنزیم‌های آنتیاکسیدانی شامل سوپراکسید دیسموتاز، کاتالاز، آسکوربات پراکسیداز و گایاکول پراکسیداز در ریشه‌های مؤین حاصل از سویه *C58C1* نسبت به سویه *A4* افزایش یافت. نتایج آنالیز HPLC نیز نشان داد که تحت تأثیر بیش بیانی ژن *pmt* و غلظت بهینه عصاره مخمر میزان تولید و تجمع هیوسیامین و اسکوپولامین در ریشه‌های مؤین حاصل از سویه *C58C1* افزایش قابل توجهی داشتند. بنابراین، ترکیب بیش بیانی و محرك می‌تواند بعنوان یک روش موفق آمیز جهت بهبود تولید تروپان آلکالوئیدها در شرایط درون شیشه‌ای باشند.

### سپاسگزاری

بدین وسیله نویسندهاگان مقاله حاضر از کارشناسان آزمایشگاه‌های گروه علوم باغبانی دانشکده کشاورزی دانشگاه ارومیه و کارشناسان بخش آنالیز دانشگاه شهید بهشتی جهت همکاری ارزشمندانه صمیمانه تشکر و امتنان را دارند. همچنین از تمام افرادی که در انجام این مطالعه ما را راهنمایی نمودند قدردانی می‌شود.

سمی و احیاکننده  $H_2O_2$  می‌باشد که طی متابولیسم سلول تولید می‌گردد. آسکوربات پراکسیداز نقش کلیدی در پاکسازی ROS و حفاظت سلول‌ها در مقابل اثرات مخرب آن‌ها در گیاهان عالی دارد (۳۴). آسکوربات پراکسیداز، یک پراکسیداز اختصاصی می‌باشد که  $H_2O_2$  را از طریق چرخه آسکوربات-گلوتاتیون با کمک اسیدآسکوربیک به آب و موно دهیدور آسکوربات تجزیه می‌نماید (۴۲). یکی دیگر از آنزیم‌های اکسیدکننده ترکیبات فنولی آنزیم گایاکول پراکسیداز می‌باشد که نقش مهمی در افزایش دفاع آنتیاکسیدانی دارد. گایاکول پراکسیدازها گلیکوپروتئین-هایی هستند که ترکیبات فنولی را مانند یک دهنده هیدروژن مصرف کرده و در فرآیندهای نمو، بیوستر اتیلن، لیگنین‌سازی، دفاع و التیام زخم‌ها شرکت می‌کنند (۵۶). در این مطالعه میزان فعالیت آنزیم‌های آنتیاکسیدانی در ریشه‌های مؤین حاصل از سویه *C58C1* در مقایسه با کنترل افزایش یافته است که این افزایش ممکن است دو دلیل داشته باشد: ۱- سطح بالای بیان ژن *T-DNA* از طریق *A. rhizogenes* در مقایسه با *A. tumefaciens* بیشتر ROS در این غلظت از عصاره مخمر و مقابله گیاه با این ROS‌ها با افزایش فعالیت آنزیم‌های آنتیاکسیدانی باشد. نتایج تحقیق Ara و همکاران (۱۰) نشان داد با بیش بیانی ژن‌های *MnSOD* و *FeSOD* در ساقه و ریشه دو گونه مختلف خیار (*Cucurbita maxima*) و

(*Cucurbita moschata*) میزان فعالیت آنزیم سوپراکسید دیسموتاز افزایش یافت. فعالیت آنزیم‌های آسکوربات پراکسیداز و گایاکول پراکسیداز در ریشه مؤین بذرالبنج مشبك (*Hyoscyamus reticulatus* L.) (بوسیله عصاره مخمر ۲۵۰ میلی‌گرم بر عصاره مخمر بعداز ۲۴ ساعت) افزایش یافت (۳۵). در گیاهچه‌های سویا (*Glycine max*) در اثر تیمار با غلظت‌های مختلف عصاره مخمر (۰/۱، ۰/۲ و ۰/۵)

### منابع

- امید بیگی، ر. (۱۳۸۸). تولید و فرآوری گیاهان دارویی جلد دوم، انتشارات آستان قدس رضوی، ۳۴۷ صفحه.

۲. جامی، س.، اسماعیل زاده بهبادی، ص. و مدرس، م. (۱۳۹۷). تأثیر کیتوzan بر ریز ازدیادی، محتوی تولید متابولیت‌های ثانویه و

۴. سهرابی نژاد، ر.، مرعشی، س.ح. و مشتاقی، ن. (۳۹۷). بهینه‌سازی کشت ریشه‌های مویین گیاه دارویی همیشه بهار *Calendula officinalis* به منظور تولید ترکیب دارویی اولانولیک اسید. مجله پژوهش‌های گیاهی (مجله زیست‌شناسی ایران)، ۳۱(۳): ۶۴۰-۶۵۴.

فعالیت آنتی اکسیدانی گیاه نوروزک (*Salvia leuifolia* Benth.) مجله پژوهش‌های گیاهی (مجله زیست‌شناسی ایران)، ۳۱(۳): ۵۶۸-۵۷۸.

۳. رحیمی آشتیانی، س، حسنلو، ط و بی همتا، م. (۱۳۸۸). به کارگیری عصاره مخمر به عنوان یک راهکار به منظور افزایش محتوای فلاونولیکانها در کشت تعلیقی سلولی گیاه خار مریم از طریق مکانیزم تحریک، فصلنامه گیاهان دارویی، ۸(۴): ۱۰۹-۱۱۹.

5. Aebi H (1984) In: Colowick SP, Kaplan NO Catalase in vitro. Method Enzymol Florida: Acad pp, 114-121.
6. Ajanal M, Gundkalle MB, Nayak SU (2012) Estimation of total alkaloid in Chitrakadivati by UV-Spectrophotometer. Anc Sci Life 31, 198-201.
7. Akramian M, Fakhr Tabatabaei SM, Mirmasoumi M (2008) Virulence of different strains of Agrobacterium rhizogenes on genetic transformation of four *Hyoscyamus* species. Am Eurasian J Agric Environ Sci 3, 759-763.
8. Al-Snafi AE, (2018). Therapeutic importance of *Hyoscyamus* species grown in Iraq (*Hyoscyamus albus*, *Hyoscyamus niger* and *Hyoscyamus reticulatus*)-A review. IOSR J Pharm 8, 18-32.
9. Alvarez MA, Marconi PL (2011) Genetic transformation for metabolic engineering of tropane alkaloids. In Genetic Transformation, pp. 291-304.
10. Ara N, Nakkanong K, Lv W, Yang J et al. (2013) Antioxidant enzymatic activities and gene expression associated with heat tolerance in the stems and roots of two *cucurbit* species ("Cucurbita maxima" and "Cucurbita moschata") and their interspecific inbred line "Maxchata". Int J Mol Sci 14, 24008-24028.
11. Arastefar A, Riahi-Madvar A, Tohid Far M, Yousefi K (2013) Investigation of the effects of yeast extract on isoflavone synthase gene expression and some biochemical parameters in *Glycine max* seedlings. J Agric Biotech 5, 1-18.
12. Bahmanzadegan A, Sefidkon F, Sonboli A et al. (2009) Determination of hyoscyamine and scopolamine in four *Hyoscyamus* species from Iran. Iran J Pharm Res 8, 65-70.
13. Banerjee S, Singh S, Rahman LU (2012) Biotransformation studies using hairy root cultures—areview. Biotechnol. Adv 30, 461-468.
14. Bulgakov VP, Aminin DL, Shkryl YN,

Gorpenchenko TY et al. (2008) Suppression of reactive oxygen species and enhanced stress tolerance in *Rubia cordifolia* cells expressing the *rolC* oncogene. Mol Plant Microbe Interact 21, 1561-1570.

15. Chang CC, Yang MH, Wen HM, Chern JC (2002) Estimation of total flavonoid content in propolis by two complementary colorimetric methods. J Food Drug Anal, 178-182.
16. Doyle JJ, Doyle JL (1990) Isolation of plant DNA from fresh tissue. Focus 12, 39-40.
17. Gheisary B, Hosseini B, Hassanpour H, Rahimi A (2018) Effects of Silicon and AgNO<sub>3</sub> Elicitors on Biochemical Traits and Antioxidant Enzymes Activity of Henbane (*H. reticulatus* L.) Hairy Roots. J Med Plants Res, 7, 135-144.
18. Giannopolitis CN, Ries SK (1977) Superoxide dismutases: Occurrence in higher plants. Plant Physiol 59, 309-314.
19. Giri A, Narasu ML (2000) Transgenic hairy root: recent trends and application. Biotechnol. Adv 18, 1-22.
20. Gürçin İ (2012) Antioxidant activity of food constituents: an overview. Arch Toxicol 86, 345-391.
21. Hong MLK, Bhatt A, Ping NS, Keng CL (2012) Detection of elicitation effect on *Hyoscyamus niger* L. root cultures for the root growth and production of tropane alkaloids. Rom Biotechnol Lett 17, 7340-7351.
22. Ighodaro OM, Akinloye OA (2018) First line defence antioxidants-superoxide dismutase (SOD), catalase (CAT) and glutathione peroxidase (GPX): Their fundamental role in the entire antioxidant defence grid. Alexandria Med J 54, 287-293.
23. Ismail H, Dilshad E, Waheed MT, Sajid M et al. (2016) Transformation of *Lactuca sativa* L. with *rolC* gene results in increased antioxidant potential and enhanced analgesic, anti-

- inflammatory and antidepressant activities *in vivo*. *Appl Biochem Biotechnol* 6, 1-11.
24. Javid N, Hidayati D, Hartanti SR, Arraniry BA, Rachman RY, Wikanta W (2017) Antioxidant activities of different solvent extracts of *Piper retrofractum* Vahl. using DPPH assay. *AIP Conf Proc* 1854, 020019-1-020019-6.
  25. Kamada H, Okamura N, Satake M, Harada H, Shimomura K (1985) Alkaloid production by hairy root cultures in *Atropa belladonna*. *Plant Cell Rep* 5, 239-242.
  26. Kang YM, Lee OS, Jung HY, Kang SM et al. (2005) Overexpression of hyoscyamine 6 $\beta$ -hydroxylase (*h6h*) gene and enhanced production of tropane alkaloids in *Scopolia parviflora* hairy root lines. *J Microbiol. Biotechnol* 15, 91-98.
  27. Khalili M, Hasanloo T, Kazemi TS, Sepehrifar R (2010). Effect of salicylic acid on antioxidant activity in milk thistle hairy root cultures. *J Med Plants* 35, 51-60.
  28. Kohnen-Johannsen KL, Kayser O (2019) Tropane alkaloids: Chemistry, pharmacology, biosynthesis and production. *Molecules* 24, 796.
  29. Kumar J, Gupta PK (2008) Molecular approaches for improvement of medicinal and aromatic plants. *Plant Biotechnol Rep* 2(2), 93-112.
  30. Li X, Wu X, Huang L (2009) Correlation between antioxidant activities and phenolic contents of radix *Angelicae sinensis* (Danggui). *Molecules* 14, 5349-5361.
  31. Liu X, Yang C, Chen M, Li M et al (2010) Promoting scopolamine accumulation in transgenic plants of *Atropa belladonna* generated from hairy roots with over expression of *pmt* and *h6h* gene. *J Med Plant Res* 4, 1708-1713.
  32. MacAdam JW, Nelson CJ, Sharp RE (1992) Peroxidase activity in the leaf elongation zone of tall fescue: Spatial distribution of ionically bound peroxidase activity in genotypes differing in length of the elongation zone. *Plant Physiol* 99, 872-878.
  33. Madani H, Hosseini B, Dehghan E, Rezaei-chiyaneh E (2015) Enhanced production of scopolamine in induced autotetraploid plants of *Hyoscyamus reticulatus* L. *Acta Physiol Plant* 37, 55-68.
  34. Mishra A, Jha B (2011) Antioxidant response of the microalga *Dunaliella salina* under salt stress. *Bot Mar* 54, 195-199.
  35. Moharrami F, Hosseini B, Sharafi A, Farjaminezhad M (2017) Enhanced production of hyoscyamine and scopolamine from genetically transformed root culture of *Hyoscyamus reticulatus* L. elicited by iron oxide nanoparticles. *In Vitro Cell Dev Biol Plant* 53, 104-111.
  36. Moyano E, Fornalé S, Palazón J, Cusidó RM et al. (2002) Alkaloid production in *Duboisia* hybrid hairy root cultures overexpressing the *pmt* gene. *Phytochem* 59, 697-702.
  37. Moyano E, Jouhikainen K, Tammela P, Palazón J et al. (2003) Effect of *pmt* gene overexpression on tropane alkaloid production in transformed root cultures of *Datura metel* and *Hyoscyamus muticus*. *J Exp Bot* 54, 203-211.
  38. Mulabagal V, Tsay HS (2004) Plant cell cultures-an alternative and efficient source for the production of biologically important secondary metabolites. *Sci Eng* 2, 29-48.
  39. Murashige T, Skoog F (1962) A revised medium for rapid growth and bio assays with tobacco tissue cultures. *Physiol Plant* 15, 473-497.
  40. Nakano Y, Asada K (1987) Purification of ascorbate peroxidase in spinach chloroplasts; its inactivation in ascorbate-depleted medium and reactivation by monodehydroascorbate radical. *J Soc Political Psychol* 28, 131-140.
  41. Namdeo AG (2007) Plant cell elicitation for production of secondary metabolites: a review. *Pharmacogn Rev* 1, 69-79.
  42. Noctor G, Foyer CH (1998) Ascorbate and glutathione: keeping active oxygen under control. *Annu Rev Plant Physiol Plant Mol Biol* 49, 249- 279.
  43. Pinol Teresa M, Palazon J, Cusido RM, Ribo M (1999) Influence of calcium ion-concentration in the medium on tropane alkaloid accumulation in *Datura stramonium* hairy root. *Plant Sci J* 141, 41-49.
  44. Pirian K, Piri K, (2013) Influence of yeast extract as a biotic elicitor on noradrenaline production in hairy root culture of *Portulaca oleracea* L. *Intl J Agron Plant Prod* 4, 2960-2964.
  45. Pramod KK, Singh S, Jayabaskaran C (2010) Expression of hyoscyamine 6 $\beta$ -hydroxylase in the root pericycle cells and accumulation of its product scopolamine in leaf and stem tissues of *Datura metel* L. *Plant Sci* 178, 202-206.
  46. Qavami N, Azizi M, Yazdian F, Qaderi A (2018). Effective induction of hairy roots in persian poppy (*Papaver bracteatum* Lindl.) using sonication method. *J. Med. Plant* 17(65), 73-82.

47. Slinkard K, Singleton VL (1977) Total phenol analysis: automation and comparison with manual methods. *Am J Enol Vitic* 28, 49-55.
48. Srivastava S, Srivastava AK (2013) Effect of elicitors and precursors on azadirachtin production in hairy root culture of *azadirachta indica*. *Appl Biochem Biotechnol*. 6, 664-676.
49. Sudhakar C, Lakshmi A, Giridarakumar S (2001) Changes in the antioxidant enzyme efficacy in two high yielding genotypes of mulberry (*Morus alba L.*) under NaCl salinity. *Plant Sci J* 161, 613-619.
50. Suzuki T, Mori H, Yamané T, Shimizu S (1985) Automatic supplementation of minerals in fed-batch culture to high cell mass concentration. *Biotechnol Bioeng* 27, 192-201.
51. Tepfer D (1990) Genetic transformation using *Agrobacterium rhizogenes*. *Physiolo Plant* 79, 140-146.
52. Tilburt JC, Kapchuk TJ (2008) Herbal medicine research and global health an ethical analysis. *Bull. World Health organ* 86, 594-599.
53. Tiwari RK, Trivedi M, Guang ZC, Guo GQ, Zheng GC (2007) Genetic transformation of *Gentiana macrophylla* with *Agrobacterium rhizogenes*: growth and production of secoiridoid glucoside gentiopicroside in transformed hairy root cultures. *Plant Cell Rep* 26, 199-210.
54. Tripathi L, Tripathi JN (2003) Role of biotechnology in medicinal plants. *Trop J Pharm Res* 2, 243-253.
55. Udomsuk L, Jarukamjorn K, Tanaka H Putalun W (2011) Improved isoflavanoid production in *Pueraria candollei* hairy root cultures using elicitation. *Biotechnol Lett* 33, 369-374.
56. Verma S, Dubey RS (2003) Lead toxicity induces lipid peroxidation and alters the activities of antioxidant enzymes in growing rice plants. *Plant Sci* 164, 645-655.
57. Verpoort R, Contin A, Memelink J (2002) Biotechnology for the production of plant secondary metabolites. *Phytochem Rev* 1, 13-25.
58. Weremczuk-Jeżyna I, Grzegoreczyk-Karolak I, Frydrych B, Królicka A, Wysokińska H (2013) Hairy roots of *Dracocephalum moldavica*: rosmarinic acid content and antioxidant potential. *Acta Physiol Plant* 35, 2095-2103.
59. Wu JY, Shi M (2008) Ultrahigh diterpenoid tanshinone production through repeated osmotic stress and elicitor stimulation in fed-batch culture of *Salvia miltiorrhiza* hairy roots. *Appl Biochem Biotechnol* 78, 441-448.
60. Yang C, Chen M, Zeng L, Zhang L et al. (2011) Improvement of Tropane Alkaloids Production in Hairy Root Cultures of *Atropa belladonna* 'by Overexpressing pmt and h6h Genes. *Plant Omics* 4, 29-33.
61. Yu L, Perret J, Davy B, Wilson J, Melby CL (2002) Antioxidant properties of cereal products. *J Food Sci* 67, 2600-2603.
62. Yun DJ, Hashimoto T, Yamada Y (1992) Metabolic engineering of medicinal plants: transgenic *Atropa belladonna* with an improved alkaloid composition. *Proc Natl Acad Sci U.S.A.* 89, 11799-11803.
63. Zhang L, Ding R, Chai Y, Bonfill M et al. (2004) Engineering tropane biosynthetic pathway in *Hyoscyamus niger* hairy root cultures. *Proc. Natl Acad Sci U.S.A.* 101, 6786-6791.
64. Zhao J, Davis LC, Verpoorte R (2005) Elicitor signal transduction leading to production of plant secondary metabolites. *Biotechnol Adv* 23, 283-333.
65. Zugic A, Dordevic S, Arsic I, Markovic G et al. (2014) Antioxidant activity and phenolic compounds in 10 selected herbs from Vrujci Spa, Serbia. *Ind Crop Prod* 52, 519-527.

# Investigation of *pmt* gene overexpression on morphological, biochemical characteristics and production of tropane alkaloids in *Hyoscyamus reticulatus* L. hairy roots under the influence of optimal concentration of yeast extract

Shameh Sh.<sup>1</sup>, Hosseini B.<sup>1</sup> and Palazon J.<sup>2</sup>

<sup>1</sup> Dept. of Horticulture, Faculty of Agriculture, Urmia University, Urmia, I.R. of Iran.

<sup>2</sup> Dept. of Plant Physiology, Faculty of Pharmacy, University of Barcelona, Barcelona, Spain.

## Abstract

Genetic engineering and elicitors are useful strategies to optimize high level production of secondary metabolites. In this study, hairy roots were produced with inoculated cotyledon explants of *Hyoscyamus reticulatus* L. with strain A4 of *Agrobacterium rhizogenes* and strain C58C1 (pRiA4-pBMI) carrying the *pmt* gene of *Agrobacterium tumefaciens*. Then, the effect of *pmt* gene overexpression and optimal concentration of yeast extract (250 mg l<sup>-1</sup> after 48 h) were evaluated on morphological, biochemical characteristics and production of tropane alkaloids in hairy roots obtained from two strains. The results of the effect of different *Agrobacterium* strains with the optimal concentration of yeast extract showed that in hairy roots obtained from C58C1 strain, fresh weight (2.85 times) and dry weight (2.27 times), total phenol (1.74 times), flavonoid (1.76 times) and alkaloid (1.77 times) were higher than the hairy roots obtained from A4 strain. The maximum antioxidant capacity using two methods IC<sub>50</sub> (1.62 µg ml<sup>-1</sup>) and FRAP (14.77 mmol Fe<sup>2+</sup> g<sup>-1</sup> FW) were observed in hairy roots obtained C58C1 strain. The activity of antioxidant enzymes including superoxide dismutase, catalase, ascorbate peroxidase and guaiacol peroxidase in hairy roots obtained from C58C1 strain were 2.45, 1.30, 1.82 and 2.18 times higher than hairy roots obtained from A4 strain, respectively. Also, the highest production of hyoscyamine (1.37 times) and scopolamine (1.34 times) was obtained in hairy roots from C58C1 strain. The results showed that the combination of *pmt* gene overexpression and the optimal concentration of yeast extract could be used as a suitable method to increase the production of phytochemicals, antioxidant capacity, activity of antioxidant enzymes and tropane alkaloids in *Hyoscyamus reticulatus* L. hairy roots.

**Key words:** Genetic Engineering, Overexpression, Total Alkaloids, Tropane Alkaloids, Yeast Extract.